

V-11 アスファルト混合物のひずみ履歴について

山口大学工業短期大講師 学員 ○ 藤戸俊英
正員 上田満

1. 概 説

アスファルト混合物は弾性体とは異なる変形特性を持つており、この変形特性を決定する факторにはいろいろなものが考えられる。すなわち、大きく影響を与えるものにひずみ速度、温度、載荷時間、配合条件等試験条件によって支配される要因と合材自身の内部構造が起因するものに分かれられると思う。そこで本研究は試験条件によってその応力特徴がいかに変化するかを検討したものである。試験条件としては、静的なものと動的な試験とに分け静的な試験からは弾性体に求められないような応力緩和現象を、動的な試験からは合材の疲労性状を主に観測することとした。

2. 使用材料および実験条件

使用したアスファルト、および合材の配合が表-1に示されている。なおこの配合は最大密度を与えるといわれている。Jalbot's 式 $P = 100 \times (d/D)^n$ により決定した。ただしこの式の中では P: 加積通過率、d: 粒径、D: 最大粒径、n: 指数で、我々の実験の場合 D=10mm, n=0.25として配合して。またアスファルト量は 8% である。供試体は 4.0 × 4.0 × 15.0cm の棒状で、この供試体を下製するにあたってはまず、
 $2.0 \times 6 \times 6.0\text{cm}$ の板状のものを $4.0\text{kg}/\text{cm}^2$ の圧力で
 静的に圧縮してから、カットイングマシンにて開き
 目的とする形にカットを行なった。載荷試験はひずみ制御方式とし、反点曲げ試験でスペンド長 30cm の載荷
 点間隔 / 10cm にちょうどセツトし、温度制御された
 恒温水槽中に於いて供試体に力を与えるのを浴槽として荷重を得る方法で実験を行なった。静的なものとしては同一のひずみ速度で荷重をかけた後にひずみを保つようにした。この時のひずみ速度は $6 \times 10^{-5}, 3 \times 10^{-5}, 2 \times 10^{-5}(\text{sec}^{-1})$ の 3 種類とし、温度をそれぞれ -2°C, 0°C, 10°C, 14°C の 5 段階に分けて行なった。動的試験としては静的試験との比較の意味をもつて瞬間に

| Sieve Opening (mm) | % Passing | Binder |
|--------------------------|--------------|---------------------------------|
| 10 | 100 | Straight Asphalt: 80/100 |
| 5 | 34.1 | Pen. (25°C, 100g, 5sec) : 89 |
| 2.5 | 70.7 | |
| 0.5 | 49.5 | T & b (°C) : 41.6 |
| 0.3 | 41.0 | P.I. : 0.17 |
| 0.15 | 35.0 | |
| 0.074 | 29.3 | |

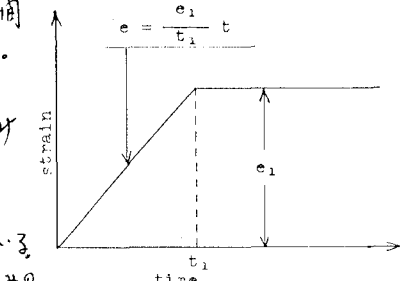
表-1/アスファルトの性質及び配合

恒温水槽中に於いて供試体に力を与えるのを浴槽として荷重を得る方法で実験を行なった。静的なものとしては同一のひずみ速度で荷重をかけた後にひずみを保つようにした。この時のひずみ速度は $6 \times 10^{-5}, 3 \times 10^{-5}, 2 \times 10^{-5}(\text{sec}^{-1})$ の 3 種類とし、温度をそれぞれ -2°C, 0°C, 10°C, 14°C の 5 段階に分けて行なった。動的試験としては静的試験との比較の意味をもつて瞬間に

この場合の試験速度は -2°C, 0°C, 10°C の 3 段階とし周波数を 1.0 Hz に保つて実験をこころめた。また合材は矩形による影響をうけるよりと考え正弦波形による疲労試験を行なった。

3. 応力緩和試験結果及び解釈法

静的な実験を行なった場合の応力一時間の関係が図-1に示されている。この図は温度 20°C に於ける 3 種のひずみ速度による図であつて、灰枠内の最大値は 1mm にしてある。この図を見るとひずみ速度が大きくなるほどにし、図/静的試験に於けるひずみ一時間で並べて勾配がゆるやかになると、緩和段階に於ける勾配がゆるやかになり、合材が過去にうけたひずみの履歴を記憶しているかのように思える。また温度が高くなるほどフレックス剛性はよりゆるやかになる。ステンレスを $S(t) = e(t)/e_0(t)$ と仮定した場合、ひずみ速度一定の間と於けるステンレス及び、定ひずみ区间におけるステンレスが図-3に示されている。この各段階に於けるステンレスは載荷時間とともにゆるやかに低下している。また定ひずみ速度区间と定ひずみ区间での下がり方は全く同一のようである。粘弹性体に時間に依存するひずみをかけた場合との応力は次式により計算できる。



$$\gamma(t) = \epsilon(t) Y(0) + \int_0^t \epsilon(t') \frac{dY(t-t')}{dt} dt' \quad \dots \quad (1)$$

但し、 $Y(t)$ は緩和弾性率

粘弾性 model を 1 つの粘性項、2 つの弾性項をもつ要素とした場合、緩和弾性率が

$$Y(t) = \frac{\theta_0}{R} e^{-t/R} + \theta_1 (1 - e^{-t/R}) \quad \dots \quad (2)$$

となるので圖-1 に示すようないずれ歴の場合の解は次のようになる

$$\epsilon(t) = \theta_0 e^{t/R} - \theta_0 (\theta_0 R - \theta_1) + \theta_1 (P_{\theta_0} - \theta_1) e^{-t/R} \quad \dots \quad (3)$$

$$\text{せくせの時, } \epsilon(t) = \theta_0 e^{t/R} + \theta_1 (\theta_0 R - \theta_1) (1 - e^{-t/R}) e^{-t/R} \quad \dots \quad (4)$$

これらの式を利用して粘弾性定数を求めて結果大体次の値が得られた。

粘弾性要素の弾性係数: $E_1 = 1 \times 10^4 \sim 7 \times 10^4 \text{ kg} \cdot \text{cm}^2$, フレクト

模型弾性係数: $E_2 = 2 \times 10^3 \sim 4 \times 10^3 \text{ kg} \cdot \text{cm}^2$, フレクト模型粘性係

数: $\gamma = 3 \times 10^5 \sim 5 \times 10^5 \text{ kg} \cdot \text{sec} \cdot \text{cm}^2$, フレクト模型に於ける粘性係

数は温度とともに低下し最小値を取るとよりこの曲線の形をさかと, $\gamma =$

4. 動的試験結果

温度を一定に保ち、ひずみ量を変化させ矩形波、および正弦波を入力とするひずみ制御方式の疲労試験を行ない E-1 の関係図を求めるのが圖-1 である（但しこの図は温度 4°C の場合である）ひずみの対数と疲労破壊回数の対数との関係は直線形に近いである事で示され、各々について最小二乗法により実験式を求めると次のようになる。

$$\text{正弦波: } N_f = 10^{7.149} \left(\frac{1}{\epsilon}\right)^{0.57}$$

$$\text{矩形波: } N_f = 10^{7.183} \left(\frac{1}{\epsilon}\right)^{4.78}$$

すなはちこの場合の相關係数は表記する次の値になる。正弦波の場合 -0.94 、矩形波の場合 -0.99 、この実験式よりわからように正弦波を用いた場合の破壊回数のほうが多くなり、なぜなら矩形波の場合にはそれが合計は破壊しないことを示している。 6×10^4 ひずみの時、正弦波の場合が大体 2 倍程度の破壊回数になる。また矩形波の場合には応答として得られる波形に応じて緩和とゆうふる現象がある。

5. あとがき

以上の実験結果のようすにアスファルト合材は過去にうけたひずみの過程に影響を受けること

され、荷重にはもうろい性質を持つている。今後アスファルト合材の内部構造に起因する影響についても検討していくつもりである。

1) Wilhelm, Flügge, "Viscoelasticity"

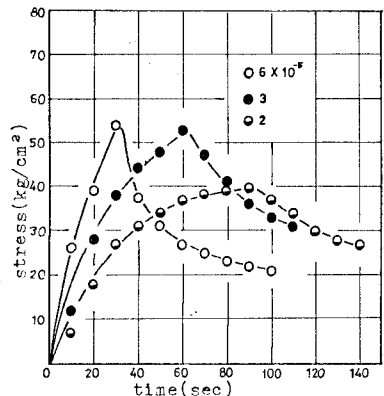


図-2. 広力-時間 関係図

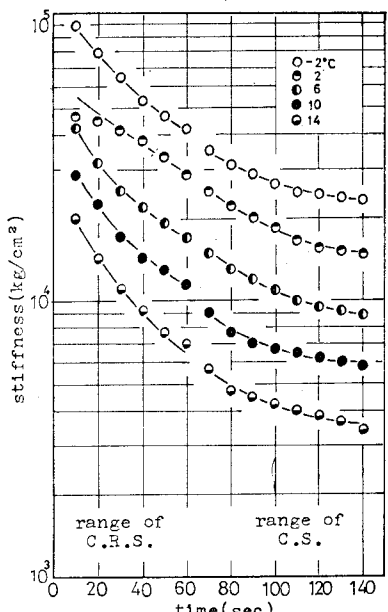


図-3. スティフネス-時間、関係図

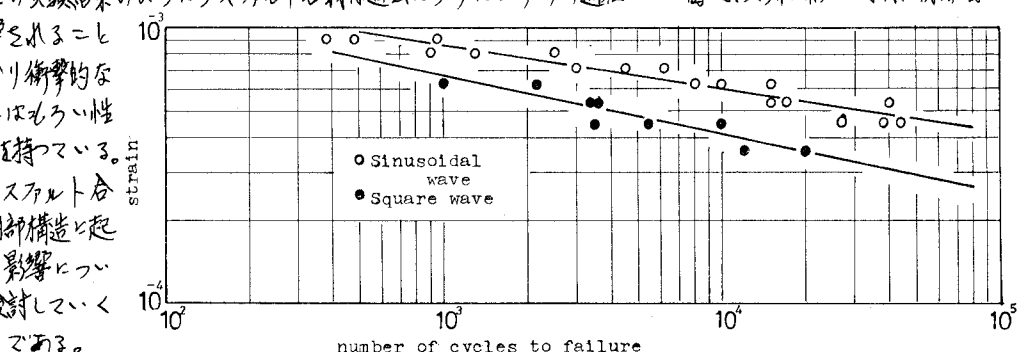


図-4 E-1 の関係図、温度 4°C の場合